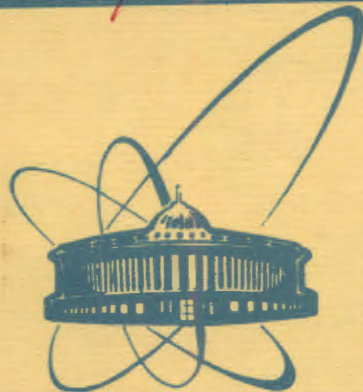


3436/2-79

3/1x-79



ОБЪЕДИНЕННЫЙ  
ИНСТИТУТ  
ЯДЕРНЫХ  
ИССЛЕДОВАНИЙ  
ДУБНА

Б-903

P6 - 12403

А.В.Будзяк, Т.Крецу, В.В.Кузнецов, Н.А.Лебедев,  
Г.И.Лизурей, Ю.В.Юшкевич, М.Яницки

ИССЛЕДОВАНИЕ  
ПОЗИТРОННОГО РАСПАДА  $^{147}\text{Eu}$  И  $^{155}\text{Dy}$

1979

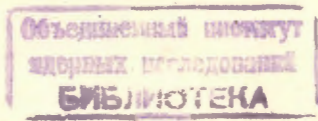
P6 - 12403

А.В.Будзяк, Т.Крецу\*, В.В.Кузнецов, Н.А.Лебедев,  
Г.И.Лизурей, Ю.В.Юшкевич, М.Яницки

ИССЛЕДОВАНИЕ  
ПОЗИТРОННОГО РАСПАДА  $^{147}\text{Eu}$  И  $^{155}\text{Dy}$

*Направлено в "Известия АН СССР" /сер. физ./*

\* Политехнический институт, Бухарест.



Будзяк А.В. и др.

P6 - 12403

Исследование позитронного распада  $^{147}\text{Eu}$  и  $^{155}\text{Dy}$

Приведены результаты исследования позитронного распада  $^{147}\text{Eu}$  и  $^{155}\text{Dy}$ . Отношения интенсивностей компонентов позитронов  $^{147}\text{Eu}$  к интенсивности К-конверсионных электронов перехода с энергией 197 кэВ равны:  $J_{\beta_1^+}/J_{K197} = 4,80/25 \cdot 10^{-2}$ ,  $J_{\beta_2^+}/J_{K197} = 2,60/40 \cdot 10^{-2}$  и  $J_{\beta_3^+}/J_{K197} = 1,95/30 \cdot 10^{-2}$ .

Разность масс  $^{147}\text{Eu} - ^{147}\text{Sm}$   $Q_{\beta^+} = 1723/3$  кэВ. Относительные интенсивности компонентов позитронов  $^{155}\text{Dy}$   $J_{\beta^+}/J_{K197}$  равны: для  $\beta_1 = 0,027/7$ , для  $\beta_2 = 0,019/3$ , для  $\beta_3 = 0,95/7$  и для  $\beta_4 = 0,098/10$ . Разность масс  $^{155}\text{Dy} - ^{155}\text{Tb}$   $Q_{\beta^+} = 2094/2$  кэВ.

Работа выполнена в Лаборатории ядерных проблем ОИЯИ.

Препринт Объединенного института ядерных исследований. Дубна 1979

Budziak A.V. et al.

P6 - 12403

Investigation of  $^{147}\text{Eu}$  and  $^{155}\text{Dy}$  Positron Decay

Results of investigation of  $^{147}\text{Eu}$  and  $^{155}\text{Dy}$  positron decay are given. Intensity ratios of  $^{147}\text{Eu}$  positron components to the intensity of K-conversion transition electrons with 197 keV energy are equal to:  $J_{\beta_1^+}/J_{K197} = 4,80(25) \cdot 10^{-2}$ ,  $J_{\beta_2^+}/J_{K197} = 2,60(40) \cdot 10^{-2}$  and  $J_{\beta_3^+}/J_{K197} = 1,95(30) \cdot 10^{-2}$ .

The mass' difference  $^{147}\text{Eu} - ^{147}\text{Sm}$   $Q_{\beta^+} = 1723(3)$  keV. Positron component relative intensities  $^{155}\text{Dy}$   $J_{\beta^+}/J_{K197}$  are equal to: for  $\beta_1 = 0,027(7)$ , for  $\beta_2 = 0,019(3)$ , for  $\beta_3 = 0,95(7)$  and for  $\beta_4 = 0,098(10)$ . The mass difference  $^{155}\text{Dy} - ^{155}\text{Tb}$   $Q_{\beta^+} = 2094(2)$  keV.

The investigation has been performed at the Laboratory of Nuclear Problems, JINR.

Preprint of the Joint Institute for Nuclear Research. Dubna 1979

## I. Введение

Позитронное излучение  $^{147}\text{Eu}$  ( $T_{1/2} = 24$  дн) изучалось ранее в работах <sup>7,1,2</sup>, однако в значениях разности масс  $^{147}\text{Eu} - ^{147}\text{Sm}$  ( $Q_{\beta^+}$ ), полученных в этих работах, наблюдается расхождение. Нами предпринята попытка, с одной стороны, устранить имеющееся расхождение, с другой – уточнить интенсивности компонентов позитронов при распаде  $^{147}\text{Eu}$ .

Позитронный распад  $^{155}\text{Dy}$  ( $T_{1/2} = 10$  час) исследовался ранее в работах <sup>7,4,5</sup>, но ни в одной из них не проведен анализ и хотя бы оценка вероятности бета-перехода  $3/2^- \rightarrow 5/2^+$ , ведущего к защелению возбужденного состояния 65,5 кэВ  $^{155}\text{Jy}$ .

## 2. Экспериментальные результаты

### 2.1. Источники, метод измерений, обработка $\beta^+$ -спектров.

Радиоактивные изотопы редкоземельных элементов европия и диспрозия получались в реакциях глубокого расщепления тантала протонами с энергией 660 МэВ на синхроциклотроне Лаборатории ядерных проблем ОИЯИ. Элементы европия и диспрозия химическим путем <sup>7,6</sup> выделялись из tantalовой мишени, облученной в течение 10 часов. Ионы исследуемых изотопов  $^{147}\text{Eu}$  и  $^{155}\text{Dy}$  внедрялись при помощи масс-сепаратора <sup>7,7</sup> в алюминизированную майларовую фольгу толщиной 680 мкг/см<sup>2</sup>. Глубина внедрения составляла не более 15 мкг/см<sup>2</sup> <sup>8</sup>.

Спектр позитронов исследовался при помощи безжелезного бета-спектрометра с торOIDальным магнитным полем <sup>7,9</sup> при максимальной трансмиссии  $T \approx 20\%$  и разрешающей способности  $R \approx 1,1\%$ .

Обработка экспериментальных распределений позитронов проводилась по методике, описанной в работе <sup>7,9,10</sup>.

Для определения доли позитронов на распад измерялись спектры конверсионных электронов  $^{147}\text{Eu}$  и  $^{155}\text{Dy}$  при тех же значениях уровня дискриминации импульсов и трансмиссии спектрометра.

## 2.2. Результаты обработки спектров позитронов $^{147}\text{Eu}$

Спектр позитронов при распаде  $^{147}\text{Eu}$  состоит из трех компонентов. На рис. I представлен график Ферми-Кюри позитронов  $^{147}\text{Eu}$ , полученный при обработке одного из четырех измеренных экспериментальных распределений. В таблице I приведены результаты обработки экспериментальных спектров позитронов  $^{147}\text{Eu}$  — граничные энергии и относительные интенсивности компонентов позитронов. В последней строке приведены средневзвешенные значения  $E_{\beta^+}$  и компонентов позитронов и их относительных интенсивностей.

Ошибки средневзвешенных величин, приведенных в таблицах I—4, определялись, как описано в работе [11]. В этих таблицах указаны весовые погрешности значений, так как они оказались больше погрешностей разброса.

Отношение интенсивностей компонентов позитронов к интенсивности К-конверсионных электронов перехода с энергией 197 кэВ оказались равными  $J_{\beta_1^+}/J_{K197} = 4,80(25) \times 10^{-2}$ ,  $J_{\beta_2^+}/J_{K197} = 2,60(40) \times 10^{-2}$  и  $J_{\beta_3^+}/J_{K197} = 1,95(30) \times 10^{-2}$ .

Таблица I

Границные энергии и относительные интенсивности позитронов при распаде  $^{147}\text{Eu}$

Опыт	$E_{\beta_1}$ , кэВ	$E_{\beta_2}$ , кэВ	$E_{\beta_3}$ , кэВ	$J_{\beta_1} : J_{\beta_2} : J_{\beta_3}$
I	702(3)	584(7)	508(5)	1,00:0,41(7):0,40(3)
2	711(5)	593(6)	507(5)	1,00:0,61(II):0,51(5)
3	708(4)	567(6)	501(6)	1,00:0,68(10):0,31(3)
4	698(2)	576(10)	504(3)	1,00:0,37(10):0,47(3)
Средневзвеш. значения	701(3)	581(6)	505(3)	1,00:0,49(7):0,41(4)

Используя величины  $(E_{\beta^+})/12/$ , мы рассчитали  $(E_{\beta^+})$  эксп. при распаде  $^{147}\text{Eu}$  для переходов на соответствующие уровни  $^{147}\text{Sm}$ .

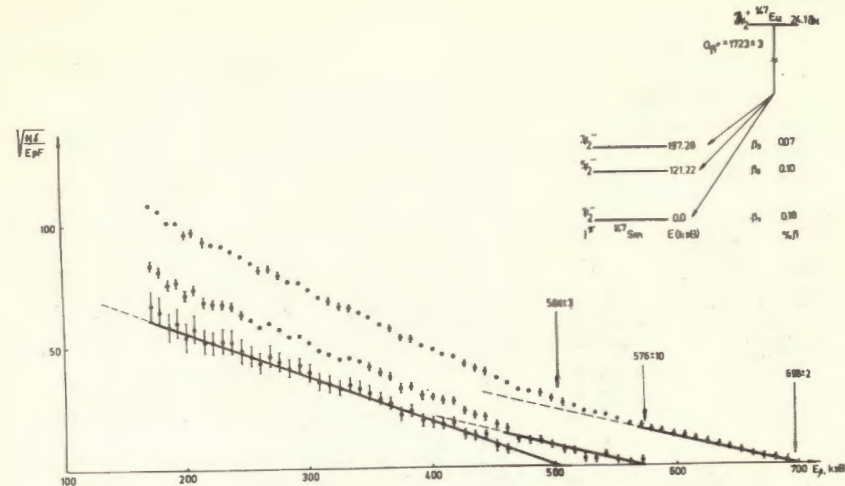


Рис. I График Ферми-Кюри позитронов  $^{147}\text{Eu}$ , полученный при обработке одного из четырех измеренных экспериментальных распределений. В правом верхнем углу приведен фрагмент схемы распада  $^{147}\text{Eu} \rightarrow ^{147}\text{Sm}$ .

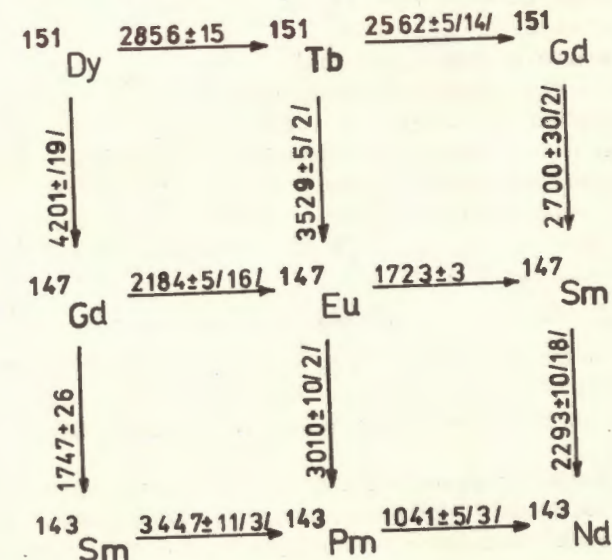


Рис. 2  $\alpha$ - $\beta$ -распадные циклы, включающие ядра с  $A = 151, 147$ .

Таблица 2  
Значения  $J_{\beta^+}(\%)$ ,  $\frac{\epsilon}{\beta^+}$ ,  $\log f_t$  при распаде  $^{147}\text{Eu}$

$E_{\beta^+}$ кэВ	$J_{\beta^+}(\%)$ a)	$\frac{\epsilon}{\beta^+}$		Заселяемые уровни кэВ	$^{147}\text{Sm}$	$\log f_t$
		теор.	эксп.			
701	0,18(2)	82,5(I2)	83(2I)	0	8,5(I)	
581	0,10(2)	142(7)	210(40)	121,22	8,4(I)	
505	0,07(3)	248(II)	295(120)	197,28	8,3(I)	

Примечание: а) Из работы /12/ принято, что  $J_{K197}=3,81(21)\%$  на распад  $^{147}\text{Eu}$ .

б)  $\frac{\epsilon}{\beta^+}$  теор взято из таблиц /13/ для разрешенных  $\beta^+$ -переходов.

На рис. I, в правом углу, приведен фрагмент схемы распада  $^{147}\text{Eu} \rightarrow ^{147}\text{Sm}$  позитронами при распаде  $^{147}\text{Eu}$ .

Позитроны ведут к заселению основного 0 кэВ ( $7/2^-$ ), первого 121,22 кэВ ( $5/2^-$ ) и 197,28 кэВ ( $3/2^-$ ) состояний  $^{147}\text{Sm}$ . Отсюда разность масс  $^{147}\text{Eu} - ^{147}\text{Sm}$ ,  $Q_{\beta^+} = 1723(3)$  кэВ.

Значение разности масс хорошо согласуется с  $Q_{\beta^+} = 1730(6)$  кэВ /3/ и отличается от  $Q_{\beta^+} = 1652(15)$  и  $Q_{\beta^+} = 1767(10)$ .

Как видно из табл.2, отношения  $\frac{\epsilon}{\beta^+}$  эксп. для всех трех компонентов позитронов близки по своему значению к  $\frac{\epsilon}{\beta^+}$  теор. для разрешенных  $\beta^+$ -переходов, тогда как в работе /2/ наблюдалось отклонение экспериментальных значений  $\frac{\epsilon}{\beta^+}$  от теоретических.

Определенные нами  $Q_{\beta^+}$  при распаде  $^{147}\text{Eu}$ ,  $^{151}\text{Gd}/14,15/$  и  $^{147}\text{Gd}/16/$  позволили рассчитать и существенно уточнить величины разности масс  $^{151}\text{Dy} - ^{151}\text{Gd}$ ,  $Q_{\beta^+} = 2856(15)$  кэВ и  $^{147}\text{Gd} - ^{143}\text{Sm}$ ,  $Q_{\beta^+} = 1747(26)$  кэВ (рис.2).

### 2.3. Результаты обработки спектров позитронов $^{155}\text{Dy}$

В спектре позитронов  $^{155}\text{Dy}$  выделено четыре компонента. На рис.3 показан график Ферми-Кюри позитронов  $^{155}\text{Dy}$ , полученный при обработке одного из четырех измеренных экспериментальных распределений.

В таблице 3 приведены результаты обработки экспериментальных спектров позитронов  $^{155}\text{Dy}$  — граничные энергии и относительные интенсивности компонентов позитронов. В последней строке приведены средневзвешенные значения  $E_{\beta^+}$  компонентов позитронов и их относительных интенсивностей.

Таблица 3  
Границные энергии и относительные интенсивности позитронов при распаде  $^{155}\text{Dy}$

Опыт	Границная энергия $E_{\beta^+}$ , кэВ					Относительные интенсивности $J_{\beta_1} : J_{\beta_2} : J_{\beta_3} : J_{\beta_4}$
	$E_{\beta_1}$	$E_{\beta_2}$	$E_{\beta_3}$	$E_{\beta_4}$		
1	1090(25)	1033(4)	846(2)	533(18)	0,028(24):0,030(14):1,00:0,095(II)	
2	1084(20)	1041(13)	843(3)	—	0,017(12):0,047(10):1,00	
3	1135(41)	1018(6)	845(2)	—	0,031(13):0,013(4):1,00	
4	1088(25)	1021(10)	843(3)	539(35)	0,040(18):0,025(5):1,00:0,132(13)	
средневзвеш. значение	1090(15)	1030(5)	845(2)	534(16)	0,027(8):0,021(3):1,00:0,103(8)	

Относительные интенсивности компонентов позитронов  $J_{\beta^+}/J_{\kappa 227}$  оказались равными для  $\beta_1 - 0,027(7)$ , для  $\beta_2 - 0,019(3)$ , для  $\beta_3 - 0,95(7)$  и для  $\beta_4 - 0,098(10)$ .

Используя значение  $(\epsilon_{\beta^+})\% /17/$ , мы рассчитали  $(\epsilon/\beta^+)$  эксп. при распаде  $^{155}\text{Dy}$  для перехода на возбужденное состояние с энергией 227 кэВ  $^{155}\text{Tb}$ . На основе анализа данных получено, что  $(\epsilon_{\beta^+})\%$  в основное состояние  $(3/2^+)$  составляет  $1,2(4)\%$ , а на первое возбужденное состояние  $(5/2^+)$  с энергией 65,5 кэВ  $^{155}\text{Tb} - 1,1(2)\%$ .

В таблице 4 приведены величины  $J_{\beta^+}\%(%)$ , экспериментальные и теоретические значения  $\epsilon/\beta^+$  и значения вероятностей заселения уровней  $^{155}\text{Tb}$  при бета-распаде  $^{155}\text{Dy}$ .

Таблица 4

Значения  $J_{\beta^+}\%(%)$ ,  $\epsilon/\beta^+$ ,  $\log ft$  при распаде  $^{155}\text{Dy}$

$E_{\text{тр}}\beta^+$ кэВ	$J_{\beta^+}\%(%)$ в)	г)		Заселяемые уровни $^{155}\text{Tb}$ кэВ	$\log ft$
		теор.	эксп.		
1090	0,06(2)	22,1(12)		0	8,1(I)
1030	0,04(1)	27,1(5)		65,5	8,1(I)
845	1,95(25)	54,20	$36(8)_6$	227,0	6,1(I)
534	0,20(3)	295(40)			6,2(2)

Примечание: в) Из работы /17/ принято, что  $J_{\kappa 227} = 2,08(20)\%$  на распад  $^{155}\text{Dy}$ .

г)  $\epsilon/\beta^+$  теор. взято из таблиц /13/ для разрешенных  $\beta^+$ -переходов.

На рис.3 в правом верхнем углу приведен фрагмент уровней  $^{155}\text{Tb}$ , на котором показано заселение возбужденных состояний  $^{155}\text{Tb}$  позитронами при распаде  $^{155}\text{Dy}$ . Позитроны ведут к заселению основного 0 кэВ  $(3/2^+)$ , 65,5 кэВ  $(5/2^+)$ , 227 кэВ  $(5/2^-)$  и возбужденных состояний с энергией  $\sim 500$  кэВ  $^{155}\text{Tb}$ . Отсюда разность масс  $^{155}\text{Dy} - ^{155}\text{Tb}$ ,  $Q_{\beta^+} = 2094(2)$  кэВ. Ранее Перссоном и др. /4/ позитроны, ответственные за заселение первого возбужденного состояния с энергией 65,5 кэВ  $(5/2^+)$   $^{155}\text{Tb}$ , не были обнаружены.

В их работе методом  $\beta^+-\gamma$ -совпадений было показано, что интенсивный компонент позитронов с  $E_{\text{тр}}\beta^+ = 850$  кэВ при распаде  $^{155}\text{Dy}$  заселяет возбужденное состояние с энергией 227 кэВ  $(5/2^-)$   $^{155}\text{Tb}$ .

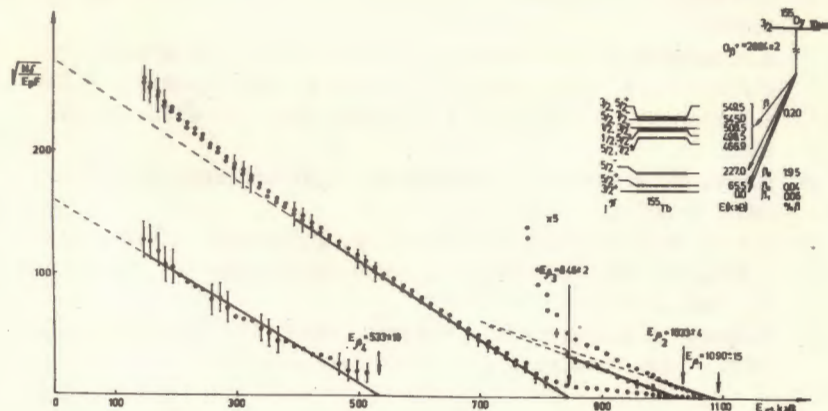


Рис.3 График Ферми-Кюри позитронов  $^{155}\text{Dy}$ , полученный при обработке одного из четырех измеренных экспериментальных распределений. В правом верхнем углу приведен фрагмент схемы распада  $^{155}\text{Dy} \rightarrow ^{155}\text{Tb}$ .

## Л и т е р а т у р а

1. К.Я.Громов, К.Мелев, Кун Сян-цинь, Г.Музоль, Хань Шу-жунь ОИИИ, Р-2166, Дубна, 1965.
2. I.Adam, K.S.Toth, R.A.Meyer, Phys. Rev., 159, (1967), 985
3. A.H.Wapstra, K.Boss, Atomic Data and Nuclear Data Tables, 19/3, (1977), New York-London
4. L.Persson, H.Ryde, K.Oelssner-Ryde, Nucl. Phys., 44, (1963), 653

5. М.Гасиор, И.Громова, Т.Крецу, В.В.Кузнецов, Н.А.Лебедев, Г.Лизурей, Г.Макарие, Д.Мончка. Тезисы докл.ХХVI Совещ.по яд.спектр.и стр.ат.ядра, Баку, изд."Наука", Ленинград, 1976 г. стр.II0.
6. Ф.Молнар, В.А.Халкин, Э.Херрманн, ЭЧАЯ, т.4, вып.4 стр.1077, (1973).
7. В.П.Афанасьев, А.Т.Василенко, И.И.Громова, Ж.Т.Желев, В.В.Кузнецов, М.Я.Кузнецова, Д.Мончка, Ю.Поморски, В.И.Райко, А.В.Ревенко, В.М.Сороко, В.А.Уткин. ОИЯИ, 13-4763, Дубна, 1969.
8. В.Дук, М.Киселевич, А.Лятушински, Б.П.Осипенко, В.И.Райко, ОИЯИ, 6-10058, Дубна, 1976.
9. К.Я.Громов, Т.Крецу, В.В.Кузнецов, Г.Лизурей, В.М.Горожанкин, Г.Макарие, сб."Прикладная ядерная спектроскопия", Атомиздат, М., вып.8, 59, 1978 г.
10. Т.Крецу, В.В.Кузнецов, Г.Макарие, ОИЯИ, Р6-10183, Дубна, 1976 ; Rev.Roum.Phys.,22/9, 975, Bucarest, 1977
11. Б.С.Джелепов, в кн."Методы разработки сложных схем распада", "Наука", М., 1974, с.155.
12. Ц.Вылов, Ш.Оманов, Я.Саржински, В.В.Кузнецов, О.И.Кочетов, Н.Б.Бадалов, Р.Р.Усманов, Н.А.Лебедев, У.С.Салихбаев, Ю.В.Юшкевич, ОИЯИ, Р6-11848, Дубна, 1978.
13. Б.С.Джелепов, Л.Н.Зирянова, Ю.П.Суслов, в кн."Бета-процессы", Л., "Наука", 1972.
14. И.И.Громова, Т.Крецу, В.В.Кузнецов, Н.А.Лебедев, Г.Макарие, А.В.Потемпа, Е.Сенявски, Тез.докл.ХХVII Совещ.по яд.спектр.и стр.ат.ядра, Ташкент, 1977 г., изд."Наука", Л., стр.78.
15. Т.Крецу, Г.Макарие, А.В.Потемпа, Е.Сенявски, Изв.АН СССР, сер.физ., т.41, №10, 2032, 1977 г.
16. Ц.Вылов, Ш.Оманов, В.С.Александров, Н.Б.Бадалов, А.Будзяк, В.В.Кузнецов, Р.Р.Усманов, Ю.В.Юшкевич, Тез.докл.ХХIX Совещ. по яд.спектр.и стр.ат.ядра, Рига, изд."Наука", Л., 1979 г., стр.88.
17. К.Зубер, Ц.Вылов, И.И.Громова, Я.Зубер, ОИЯИ, 6-8517, Дубна, 1975 .
18. М.П.Авотина, А.В.Золотовин, в кн."Изобарные ядра с массовым числом A = 147", Л."Наука", 1971.
19. K.S.Toth, Phys.Rev.,C10, (1974), 2550

Рукопись поступила в издательский отдел  
19 апреля 1979 года.